

1. はじめに

近接し難い未知度の座標を決定するのに前方交会法が適用されるが、途中で光が屈折する場合でも、屈折の状態を指定すれば、原理的に前方交会法によって未知度の位置を決定することができます。水中の測度、物体、地形などの測定を直接測定するのは極めて面倒であり、精度もあまり良くない。水深の浅い場合は音響測深も不適である。水中の深い個所にある物体は十分空中から見ええから、境界面の屈折法則を用いれば、空中の測度から観測して前方交会法により位置を決定する。

写真測量の場合の一応除外して、トランシットや平板を用いて観測する場合を対象とし、前方交会法による水中物体の位置決定の方法と必要な関係式を示し、測定精度についても部分的な考察を加える。得られた結果は、屈折率の異なる2媒質中を光が通過する一般の場合に適用できるものである。

一般に、われわれが光線の方向を知るのは、水平角(方向角)および鉛直角としてである。このとき、水平角の方が鉛直角より測定精度が良く、水平角の交会角は 90° 近くに達することは容易であるが、鉛直角の交会角は通常小さくしかられないことなどは普通の場合と同様と考えられるので、通常の前方交会法と同様な方針で未知度を求めあればよいと推測される。ただし屈折面の法線の方向によって交会度の決定法に差異が生ずるので、以下2種類の場合について説明する。

2. 記号および基本関係式

$P(x, y, z)$: 水中の未知度、 $O(\xi, \eta, \zeta)$: 空中の既知度

$Q(\xi', \eta', \zeta')$: 光線と屈折面との交度、 N : 空気に対する水の屈折率

n : 水中に向う屈折面の法線、 i, i' : 空中および水中の光線と n とのなす角

α, β : 光線の方向角および鉛直角(方向角は X 軸を基準、鉛直角は伏角を正とする)

$\lambda, \mu, \nu; \lambda', \mu', \nu'$: 空中および水中の光線の方向余弦

以上の記号を用いると、つきの関係が成立する。

$$\sin i' = \sin i / N \quad (1)$$

$$\left. \begin{aligned} \lambda &= \frac{1}{N} \{ \lambda - \lambda_0 (\cos i - \sqrt{N^2 - 1 + \cos^2 i}) \} \\ \mu' &= \frac{1}{N} \{ \mu - \mu_0 (\cos i - \sqrt{N^2 - 1 + \cos^2 i}) \} \\ \nu' &= \frac{1}{N} \{ \nu - \nu_0 (\cos i - \sqrt{N^2 - 1 + \cos^2 i}) \} \end{aligned} \right\} \quad (2)$$

ここで λ_0, μ_0, ν_0 は n の方向余弦である。

$$\lambda = \cos \alpha \cos \beta, \mu = \sin \alpha \cos \beta, \nu = \sin \beta \quad (3)$$

3. 屈折面が水平のときの位置決定法

図-1において、水面を X 軸とし、 Z 軸を鉛直下向きに選ぶ。度 P から発し静水面より高い度 O_1, O_2 に達する光線 O_1Q_1P, O_2Q_2P はそれ自身鉛直面内にあり、その交線を $P'P$ とする(P' は $P'P$ と水面との交度である)。度 O_1Q_1, O_2Q_2 の延長と $P'P$ との交度 P_1^*, P_2^* の Z 座標を Z_1^*, Z_2^* とすれば、一般に、

$$Z = (\tan i / \tan i') Z^* \quad (4)$$

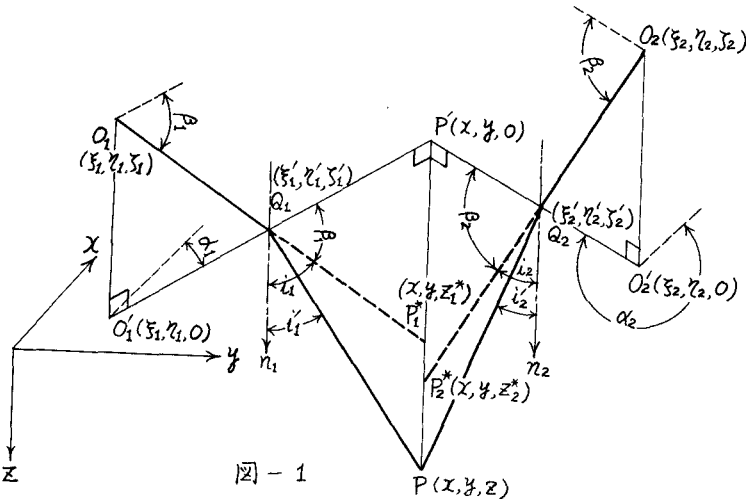


図-1

式(1)より、

$$\sin i' = \sin i/N, \quad \cos i' = \sqrt{N^2 - \sin^2 i}/N, \quad \tan i' = \sin i/\sqrt{N^2 - \sin^2 i} \quad (5)$$

であるから、式(4)および式(5)より P_1^* , P_2^* の Z 座標はつぎのようになる。

$$Z_j = (\sqrt{N^2 - \cos^2 \beta_j} / \sin \beta_j) Z_j^*, \quad (j = 1, 2) \quad (6)$$

したがって、まず光線を含む 2 つの鉛直面の交線 $P'P$ が決定されれば、つぎに $P'P$ と O_1Q_1 および O_2Q_2 との交点 P_1^* , P_2^* の Z 座標を求め、式(6)より真 P の Z 座標が決定される。それらの結果をまとめるとつぎの通りである。

$$\left. \begin{aligned} X &= \frac{\xi_1 \tan \alpha_1 - \xi_2 \tan \alpha_2 - (\eta_1 - \eta_2)}{\tan \alpha_1 - \tan \alpha_2} \\ Y &= \frac{(\xi_1 - \xi_2) \tan \alpha_1 \tan \alpha_2 - \eta_1 \tan \alpha_2 + \eta_2 \tan \alpha_1}{\tan \alpha_1 - \tan \alpha_2} \\ Z_1 &= \frac{\sqrt{N^2 - \cos^2 \beta_1}}{\sin \beta_1} \left\{ \xi_1 + \frac{(\xi_1 - \xi_2) \tan \alpha_2 - (\eta_1 - \eta_2)}{\tan \alpha_1 - \tan \alpha_2} \cdot \frac{\tan \beta_1}{\cos \alpha_1} \right\} \\ Z_2 &= \frac{\sqrt{N^2 - \cos^2 \beta_2}}{\sin \beta_2} \left\{ \xi_2 + \frac{(\xi_1 - \xi_2) \tan \alpha_1 - (\eta_1 - \eta_2)}{\tan \alpha_1 - \tan \alpha_2} \cdot \frac{\tan \beta_2}{\cos \alpha_2} \right\} \end{aligned} \right\} \quad (14)$$

4. 層折面が鉛直のときの位置決定法

ガラス容器などに水が入っていて、容器の鉛直側面を通して外から水中物体の位置を測定する場合

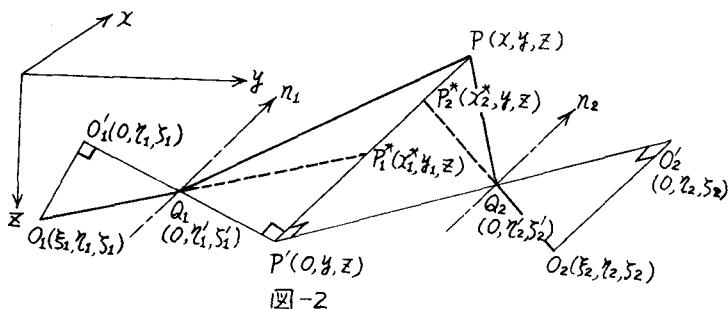


図-2

をつぎのよう。この場合に
は、図-2 に示すように
容器壁面を YZ 面とし、
X 軸を水中に向いた直交
座標系を採用する。法線
n1 は X 軸と平行な水平線
であって、光線と法線を
含む 2 つの面の交線を、

$P'P$ とする。

第1の方法として、 $\angle O_1'P'_2O_2$ が 90° 近くであれば、3. と同様な方針により、まず $P'P$ を決定して真PのY座標を求め、つまに P_1^*, P_2^* のX座標を求めて真PのX座標に換算することができる。ただし、 $\angle O_1'P'_2O_2$ を 90° 近くにとることでのできない場合があることに注意する。

第2の方法としては、まず光線の水平面(Xy 面)への投影について考える。図-3において、光線 $OQzP$ の Xy 面への投影を $OzQzPz$ とするとき、

$$\sin i / \sin i' = \sqrt{\nu^2 - \mu^2} / \sqrt{1 - \nu^2} = N_e \quad (8)$$

なる関係が成立する。これは光線 Xy 面への投影は、 N の代りに N_e を用いれば式(1)を適用できるということを示している。式(3)を用いて $N = \beta$ と表わすと、 N_e はつまに通りとなる。

$$N_e = \sqrt{N^2 - \sin^2 \beta} / \cos \beta \quad (9)$$

光線の Xy 面への投影においては交角を 90° 近くとすることは比較的容易であるから、これについて交点 Q_z 、Y座標を一義的に決定することにする。この場合図-3よりわかるように、 $i = \alpha$ 、 $i' = \alpha'$ であるから、式(5)と同様にして、

$$\tan \alpha' = \sin \alpha / \sqrt{N_e^2 - \sin^2 \alpha} \quad (10)$$

未知真PのX、Y座標はつまのように与えられる。

$$\left. \begin{aligned} X &= (\gamma_2' - \gamma_1) - \frac{1}{\tan \alpha'_1 - \tan \alpha'_2} \\ Y &= \gamma_1' + (\gamma_2' - \gamma_1) \frac{\tan \alpha'_1}{\tan \alpha'_1 - \tan \alpha'_2} = \gamma_2' + (\gamma_2' - \gamma_1) \frac{\tan \alpha'_2}{\tan \alpha'_1 - \tan \alpha'_2} \end{aligned} \right\} \quad (11)$$

ここで、

$$\gamma_1' = \gamma_1 - s_1 \tan \alpha_1, \quad \gamma_2' = \gamma_2 - s_2 \tan \alpha_2 \quad (12)$$

真PのZ座標は簡単に求められる。光線を含む平面はX軸に平行であるから、この平面が式(11)のY座標を切る真を求めればよい。図-4は光線の yz 面への投影を示すもので、光線の投影とZ軸とのなす角を β_x とすると、投影された直線の方程式は、

$$Z - z = (y - y') \tan \beta_x$$

一方、 $\tan \beta_x$ とともに光線の方向余弦あるいは α 、 β との関係は、

$$\tan \beta_x = \nu / \mu = \sin \alpha \tan \beta \quad (13)$$

であるから、求めたZ座標はつまの2つとなり、これを調整して真PのZ座標とすればよい。

$$Z_1 = \gamma_1 + (y - \gamma_1) \sin \alpha_1 \tan \beta_1, \quad Z_2 = \gamma_2 + (y - \gamma_2) \sin \alpha_2 \tan \beta_2 \quad (14)$$

5. 水面の傾斜による誤差

水中物体の位置を前記のような方法で決定する主には、水のない場合に比べて測定すべき値が多く、測角誤差、既知点の位置誤差、屈折率の誤差、水面位置の誤差、水面の角度誤差などから位置決定

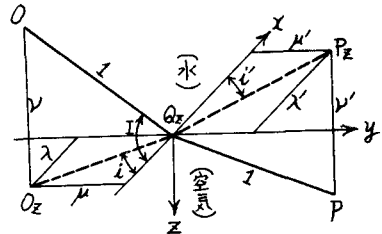


図-3

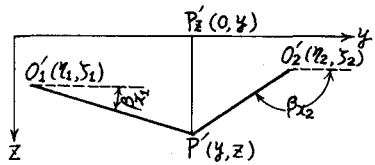


図-4

精度に影響を及ぼす。これらの誤差の影響は水のない場合と多少異なり、やや大きい影響を与えるが、ここでは水のある場合と特有なものとして、最後のもののみを考えることにする。3.のように水面上から観測する場合には、水面が波立つことが多いからその場合の水面傾斜の及ぼす影響を考慮しようとするのである。水面傾斜を以下のように2つに分類して取り扱うことにする。

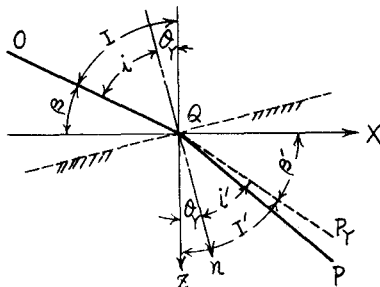


図-5

水面の法線が空中の光線を含む鉛直面内で傾斜した場合には、光線を含む鉛直面の方向に変化を生じないから、点PのX, Y座標は不变で、Z座標のみが変わる。いま、図-5のように光線を含む鉛直面をあらためてZX面とし、水面の法線がこの面内でθだけ傾いているとする。I, I'は鉛直線と光線とのなす角であって、

$$I = 90^\circ - \beta, \quad I' = 90^\circ - \beta'$$

$$i = I - \theta_Y, \quad i' = I' - \theta_Y$$

これらの関係と式(2)より、空中と水中の光線の鉛直角の間につきの関係が成立する。

$$\cos\beta' = \sin I' = \lambda' = \frac{1}{N} [\cos\beta - \sin\theta_Y \{ \sin(\beta + \theta_Y) - \sqrt{N^2 - \cos^2(\beta + \theta_Y)} \}] \quad (15)$$

この式を用いて、屋折面の法線が鉛直からわずかに傾いたとき、水中の光線の鉛直角β'および水深Zか

どり程度変化するか計算すれば表-1のようになる。
βの変化は小さいが、水深Zにはやや大きい誤差を生ずることがわかる。

水面の法線が空中の光線を含む鉛直面と直角な方向にθ_Xだけ傾いた場合を考へる。図-6に示すように、この場合も光線を含む鉛直面をZX面とすると、

$$I = 90^\circ - \beta, \quad I' = 90^\circ - \beta$$

$$\cos i = \lambda \lambda_0 + \mu \mu_0 + \nu \nu_0 = \cos I \cos \theta_X = \sin \beta \cos \theta_X$$

これらの関係と式(2)より、

$$\tan \lambda' = \frac{\mu'}{\lambda'} = \frac{\sin \theta_X}{\cos \beta} (\sin \beta \cos \theta_X - \sqrt{N^2 - 1 + \sin^2 \beta \cos^2 \theta_X}) \quad (16)$$

$$\sin \beta' = \nu' = \frac{1}{N} [\sin \beta - \cos \theta_X (\sin \beta \cos \theta_X - \sqrt{N^2 - 1 + \sin^2 \beta \cos^2 \theta_X})]$$

この式を用いて、屋折面の法線が光線を含む鉛直面に直角な方向にわずかに傾いたとき、β'の変化の様

表-1

β (度)	15	45	75
$\partial \beta / \partial \theta_Y _{\theta_Y=0}$	-0.72	-0.37	-0.26
$\partial \beta / \partial Z _{\theta_Y=0}$	-1.44	-0.83	-1.37
$dZ / Z _{\theta_Y=0}$	-0.025	-0.015	-0.024

1) $d\theta = 1^\circ$ のとき

表-2

β (度)	15	45	75
$\partial \beta / \partial \theta_X _{\theta_X=0}$	-0.68	-0.60	-1.32

子を計算すれば表-2のようである。 β が小さければ、 β' の変化は

θ_X の変化よりも小さいと考えてよい。 β は不变であるから、水深Zに直接影響はないが、 β' の変化に伴う交換点のX, Y座標の変化に応じてZに差を生ずる。

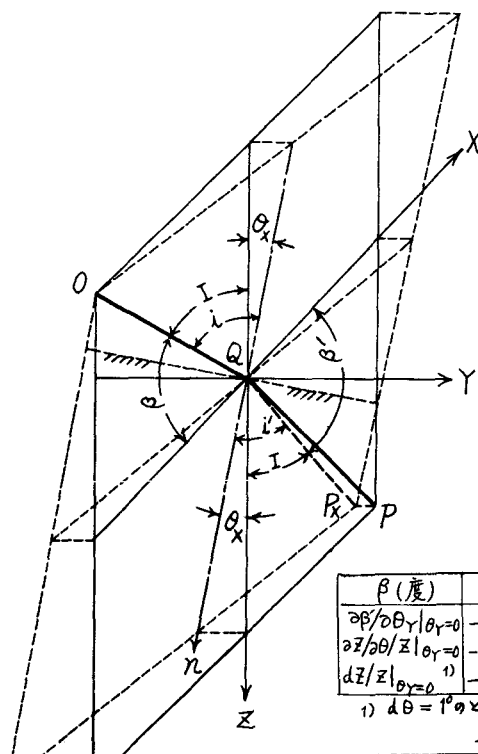


図-6